



Fotoprodução difrativa do bóson de Higgs em Colisões Periféricas

Gustavo Gil da Silveira

gustavo.silveira@ufrgs.br

Grupo de Fenomenologia de Partículas de Altas Energias (GFPAE)

Instituto de Física

Universidade Federal do Rio Grande do Sul

Orientadora: Profa. Dra. Maria Beatriz Gay Ducati

Outline

- ▶ Motivação
- ▶ Teoria Eletrofraca
- ▶ Física difrativa
- ▶ Mecanismo de fotoprodução do bóson de Higgs
 - ▶ Cálculo analítico da amplitude
 - ▶ Processo γp
 - ▶ Parâmetros fenomenológicos
 - ▶ Taxa de eventos
- ▶ Aplicações às Colisões Periféricas
 - ▶ Resultados em colisões pp
 - ▶ Resultados em colisões pA
- ▶ Análise sobre a probabilidade de sobrevivência
- ▶ Conclusões e perspectivas



Motivação

- ▶ O bóson de Higgs é a última partícula a ser detectada para a consolidação do Modelo Padrão.
- ▶ A sua detecção é esperada para o início de operação do LHC.
 - ▶ O regime de baixa luminosidade é favorável à produção difrativa.
 - ▶ A estimativa para a razão S/B é maior se comparada à produção direta.
- ▶ Processos difrativos promovem assinaturas experimentais característicos.
 - ▶ A Troca Dupla de Pomerons permite a produção do bóson de Higgs por meio do vértice ggH no intervalo de massa $M_H \sim 115 - 160 \text{ GeV}$.
- ▶ Algumas colisões hádron-hádron **não** experimentarão interações fortes.
 - ▶ **Colisões Periféricas**: devido a grande distância, somente ocorrem interações eletromagnéticas.
- ▶ Esta Tese dedica-se a introduzir um novo mecanismo de produção do bóson de Higgs em LHC.
 - ▶ Nossos resultados anteriores corroboram essa construção.



Outline

- ▶ Motivação
- ▶ **Teoria Eletrofraca**
- ▶ Física difrativa
- ▶ Mecanismo de fotoprodução do bóson de Higgs
 - ▶ Cálculo analítico da amplitude
 - ▶ Processo γp
 - ▶ Parâmetros fenomenológicos
 - ▶ Taxa de eventos
- ▶ Aplicações a Colisões Periféricas
 - ▶ Resultados em colisões pp
 - ▶ Resultados em colisões pA
- ▶ A probabilidade de sobrevivência
- ▶ Conclusões e perspectivas



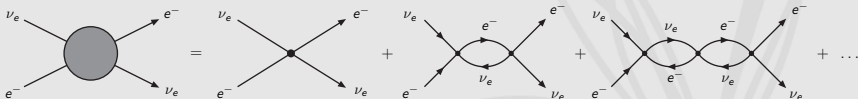
Interações Fracas

- ▶ **Primeira proposta:** Teoria relativística de Fermi para o decaimento do nêutron

$$\mathcal{H} = \mathcal{H}^0 + \frac{G}{\sqrt{2}} \int d^3x J_\mu^{(L)\dagger}(x) J_\mu^{(L)}(x)$$

$$J_\mu^{(L)} = \sum \bar{u}_L(x) \gamma_\mu (1 - \gamma_5) u_{\nu_L}(x)$$

- ▶ **Problema #1:** Seções de choque de processos $\nu\ell$ crescem com a energia;
 - ▶ Processos em ordens mais altas em teoria de perturbação são necessários



- ▶ QED: diagramas de polarização do vácuo produzem **divergências**:
 - ▶ Torna-se fundamental considerar uma Teoria de Campos para a interação pela troca de uma partícula virtual sem massa.

- ▶ **Problema #2:** A Interação Fraca exige uma partícula mediadora massiva:

teoria não-renormalizável

Campo de Higgs

- ▶ Considera-se a interação dos campos físicos com o **campo de Higgs**

$$\varphi(x) = \frac{1}{\sqrt{2}} [\varphi_1(x) + i\varphi_2(x)] \quad \varphi^*(x) = \frac{1}{\sqrt{2}} [\varphi_1(x) - i\varphi_2(x)]$$

descrita pelo Lagrangiano invariante de SO(2)

$$\mathcal{L}_H = (\partial^\mu \varphi)^* (\partial_\mu \varphi) - \left(\mu^2 |\varphi|^2 + \frac{\lambda}{3!} |\varphi|^4 \right)$$

- ▶ **Propriedade:** transformações **locais** de simetria

$$\tilde{\varphi}(x) = T(x)\varphi(x) = e^{ig\theta(x)}\varphi(x)$$

- ▶ O Lagrangiano que satisfaz esta propriedade é dado por

$$\mathcal{L}_H = -\frac{1}{4} F^{\mu\nu} F_{\mu\nu} + (D^\mu \varphi)^* (D_\mu \varphi) - \mu^2 |\varphi|^2 - \frac{\lambda}{3!} |\varphi|^4$$

com $F^{\mu\nu} = \partial^\nu a^\mu(x) - \partial^\mu a^\nu(x)$ e $D^\mu = \partial^\mu + ig a^\mu(x)$.

Campo de Higgs

- ▶ Considera-se a interação dos campos físicos com o **campo de Higgs**

$$\varphi(x) = \frac{1}{\sqrt{2}} [\varphi_1(x) + i\varphi_2(x)] \quad \varphi^*(x) = \frac{1}{\sqrt{2}} [\varphi_1(x) - i\varphi_2(x)]$$

descrita pelo Lagrangiano invariante de SO(2)

$$\mathcal{L}_H = (\partial^\mu \varphi)^* (\partial_\mu \varphi) - \left(\mu^2 |\varphi|^2 + \frac{\lambda}{3!} |\varphi|^4 \right)$$

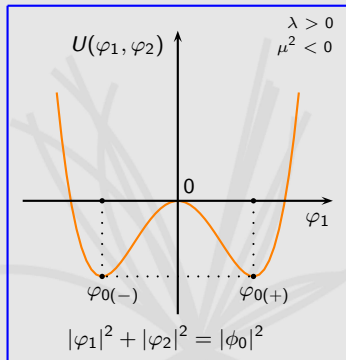
- ▶ **Propriedade:** transformações **locais** de simetria

$$\tilde{\varphi}(x) = T(x)\varphi(x) = e^{ig\theta(x)}\varphi(x)$$

- ▶ O Lagrangiano que satisfaz esta propriedade é dado por

$$\mathcal{L}_H = -\frac{1}{4} F^{\mu\nu} F_{\mu\nu} + (D^\mu \varphi)^* (D_\mu \varphi) - \mu^2 |\varphi|^2 - \frac{\lambda}{3!} |\varphi|^4$$

com $F^{\mu\nu} = \partial^\nu a^\mu(x) - \partial^\mu a^\nu(x)$ e $D^\mu = \partial^\mu + ig a^\mu(x)$.



Mecanismo de Higgs: Quebra espontânea de simetria

- ▶ Seleccionando um estado de vácuo, o Lagrangiano se transforma $\varphi'_1 = \varphi_1 - \phi_0$

$$\begin{aligned} \mathcal{L}_H &= -\frac{1}{4} F^{\mu\nu} F_{\mu\nu} + \frac{1}{2} g^2 |\phi_0|^2 a^\mu a_\mu + \frac{1}{2} [(\partial^\mu \varphi'_1)^* (\partial_\mu \varphi'_1) - m^2 |\varphi'_1|^2] \\ &+ \frac{1}{2} (\partial^\mu \varphi'_2)^* (\partial_\mu \varphi'_2) - \frac{\lambda}{3!} \phi_0 (|\varphi'_1|^2 + |\varphi'_2|^2) \varphi'_1 - \frac{\lambda}{4!} (|\varphi'_1|^2 + |\varphi'_2|^2)^2 + \dots \end{aligned}$$

- ▶ Efetuando-se uma transformação na forma

$$\begin{aligned} \mathcal{L}_H &= -\frac{1}{4} C^{\mu\nu} C_{\mu\nu} + \frac{1}{2} m_C^2 C^\mu C_\mu \\ &- \frac{1}{2} (\partial^\mu \rho)^* (\partial_\mu \rho) + \frac{1}{2} m_\rho^2 |\rho|^2 - \frac{\lambda}{4!} |\rho|^4 - \frac{\lambda \phi_0}{3!} + \frac{g^2}{2} C^\mu C_\mu (|\rho|^2 + 2|\rho||\phi_0|) \end{aligned} \quad \begin{cases} \varphi(x) = \frac{1}{\sqrt{2}} [\rho(x) + a] \exp[ig\omega(x)/a] \\ a_\mu(x) = C_\mu - \frac{1}{a} \partial_\mu \omega(x) \end{cases}$$

- ▶ Campo espúrio $\omega(x)$ é eliminado \rightarrow **bóson de Goldstone**;
- ▶ Os campos adquirem massa: C_μ : $m_C = g|\phi_0| \rightarrow$ **bóson de gauge**
 ρ : $m_\rho = \sqrt{-2\mu^2} \rightarrow$ **bóson de Higgs**

Teoria renormalizável com propagador massivo

Teoria Eletrofraca

- ▶ 1960-1970: Unificação QED + Interação Fraca

Grupo de simetria $SU(2)_L \otimes U(1)_Y$

- ▶ O Lagrangiano Eletrofraco para léptons é descrito por

$$\begin{aligned} \mathcal{L}_{EW} = & -\frac{1}{4} B_a^{\mu\nu} B_{\mu\nu}^a - \frac{1}{4} F^{\mu\nu} F_{\mu\nu} - \mu^2 \varphi^\dagger \varphi - \frac{\lambda}{3!} (\varphi^\dagger \varphi)^2 + (D_\mu \varphi)^\dagger (D^\mu \varphi) \\ & + \sum_\ell \left[\bar{L}_\ell (i\gamma^\mu D_\mu) L_\ell + \bar{R}_\ell (i\gamma^\mu D_\mu) R_\ell - G_\ell (\bar{L}_\ell \varphi R_\ell + \bar{R}_\ell \varphi^\dagger L_\ell) \right] \end{aligned}$$

onde $B_a^{\mu\nu} = \partial^\mu \phi_a^\nu - \partial^\nu \phi_a^\mu - g\epsilon_{abc} \phi_b^\mu \phi_c^\nu$ são os campos Z^0 e W^\pm

$F^{\mu\nu} = \partial^\mu A^\nu - \partial^\nu A^\mu$ é o campo da QED

φ é o Campo de Higgs que gera a massa das partículas

$D_\mu = \partial_\mu + ig\phi_{\mu a} \frac{\tau_a}{2} - i\frac{g'}{2} A_\mu$ é a derivada covariante.

- ▶ O mecanismo de Higgs permite obter a massa dos campos físicos

$$m_e \sim |\phi_0| G_e$$

$$m_\mu \sim |\phi_0| G_\mu$$

$$m_\tau \sim |\phi_0| G_\tau$$

$$M_Z = 90 \text{ GeV}$$

$$M_W = 80 \text{ GeV}$$

$$M_H = \sqrt{-2\mu^2}$$

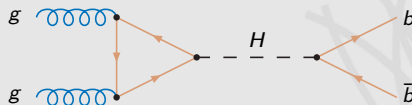
Meios de produção

- ▶ **1983:** CERN detecta os bósons vetoriais com massas

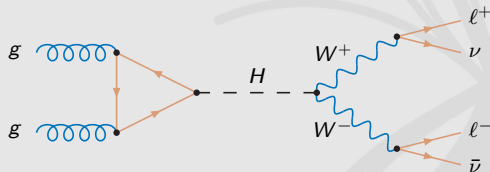
$$M_W = 80.5 \pm 0.5 \text{ GeV} \quad M_Z = 95.6 \pm 1.4 \text{ GeV}$$

- ▶ **Passo final:** **detectar o bóson de Higgs!**
- ▶ Duas distintas possibilidades no espectro de massa:

- ▶ $M_H < 135 \text{ GeV}$: Fusão de glúons com decaimento $b\bar{b}$



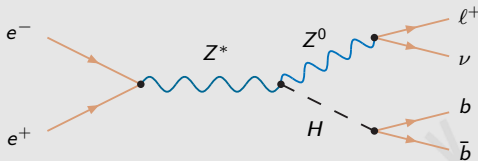
- ▶ $M_H > 135 \text{ GeV}$: Fusão de glúons com decaimento W^+W^-



- ▶ Porém, existem limites para a produção da massa do bóson de Higgs.

Limite previsto por LEP

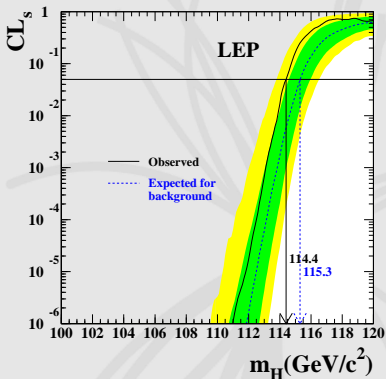
- ▶ A produção do bóson de Higgs foi investigada em LEP por meio do processo



- ▶ Com os dados obtidos, pode-se estimar um limite inferior para a massa do bóson de Higgs de

$$M_H \geq 114.4 \text{ GeV}$$

com um nível de confiança de 95%.



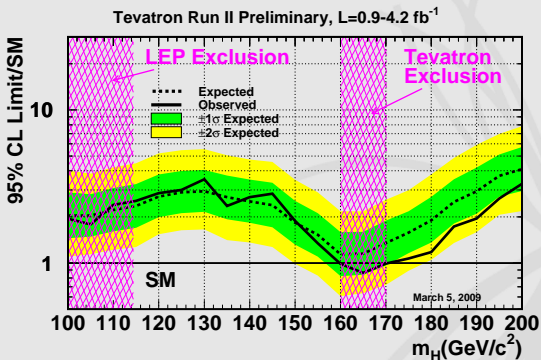
Novos dados do Tevatron

- ▶ A análise dos dados de CDF e D0 permitiram excluir o seguinte intervalo de massa

$$160 \text{ GeV} \lesssim M_H \lesssim 170 \text{ GeV}$$

- ▶ Uma estimativa da massa do bóson de Higgs pode ser feita através de processos eletrofracos

$$M_H = 116.3^{+15.6}_{-1.30} \text{ GeV}$$



Outline

- ▶ Motivação
- ▶ Teoria Eletrofraca
- ▶ **Física difrativa**
- ▶ Mecanismo de fotoprodução do bóson de Higgs
 - ▶ Cálculo analítico da amplitude
 - ▶ Processo γp
 - ▶ Parâmetros fenomenológicos
 - ▶ Taxa de eventos
- ▶ Aplicações a Colisões Periféricas
 - ▶ Resultados em colisões pp
 - ▶ Resultados em colisões pA
- ▶ A probabilidade de sobrevivência
- ▶ Conclusões e perspectivas



Teoria de Regge

- ▶ Primeira teoria fenomenológica para descrever os processos hadrônicos em altas energias;
 - ▶ Teoria precedente à Cromodinâmica Quântica (1950);
- ▶ Esta teoria prevê a troca de uma família de ressonâncias no canal t ;
- ▶ A amplitude para a troca de uma partícula reggeizada é dada por

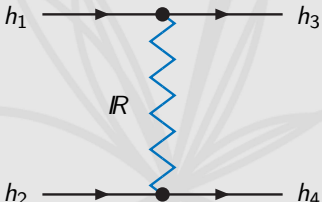
$$A(s, t) \sim \frac{s^{\alpha(t)}}{\text{sen} [\pi\alpha(t)]} \quad \rightarrow \quad \sigma_{tot} \sim s^{\alpha(0)-1}$$

- ▶ **1960**: a seção de choque hadrônica tem comportamento constante para $s \rightarrow \infty$;

- ▶ Pequeno crescimento para $\sqrt{s} \sim 2 \text{ TeV}$.

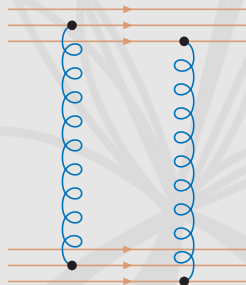
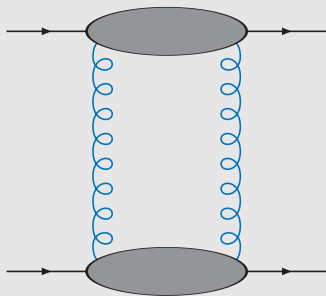
- ▶ **Pomeron**: partícula com a intersecção $\alpha(0) \approx 1$
 - ▶ Dados mais atuais revelam que $\alpha(0) = 1.08$.

- ▶ **Teoria de Regge**: considera o Pomeron com os **números quânticos do vácuo**.



O Pomeron na QCD

- ▶ Interações hadrônicas podem ser expressas pelos graus de liberdade da QCD.
- ▶ A descrição do Pomeron pode ser feita pela troca de **dois glúons** no canal t .
 - ▶ Para os números quânticos do vácuo, esta é a configuração **mínima**.



Espalhamento na aproximação $\ln s$

▶ Estuda-se a troca de glúons no espalhamento quark-quark;

▶ Os processos que contribuem são:

▶ Troca por um laço;

▶ Correções radiativas;

▶ Emissão de glúons reais;

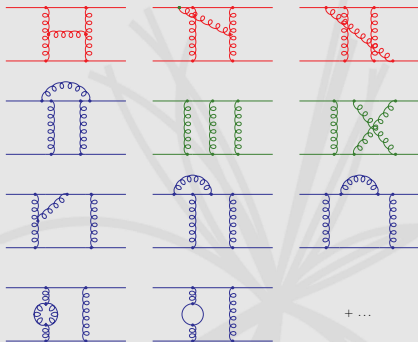
▶ Emissão de glúons virtuais.

▶ Desprezam-se os diagramas que são subdominantes em $\ln s$:

▶ Correção de vértice;

▶ Auto-energia;

▶ Polarização do vácuo.



Escada de glúons BFKL

- ▶ Estendendo a todas as ordens em teoria de perturbação: **escada de glúons**.

- ▶ Propagador: $D_{\mu\nu}(s_i, k_i^2) = -i \frac{g_{\mu\nu}}{k_i^2} \left(\frac{s}{k^2} \right)^{\alpha_g(t)-1}$

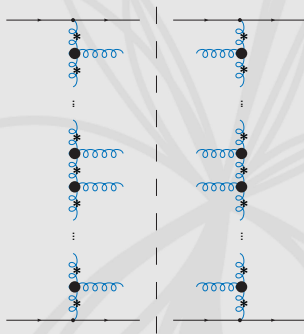
- ▶ A amplitude do espalhamento hadrônico é dada por

$$\mathcal{A}(s, t) = isC \int \frac{d^2\mathbf{k}}{(2\pi)^2} \frac{d^2\mathbf{k}'}{(2\pi)^2} \Phi_A(\mathbf{k}, \mathbf{q}) \frac{F(s, \mathbf{k}, \mathbf{k}', \mathbf{q})}{k'^2(\mathbf{k} - \mathbf{q})^2} \Phi_B(\mathbf{k}', \mathbf{q})$$

- ▶ Este cálculo leva a obtenção da Equação de Evolução BFKL.

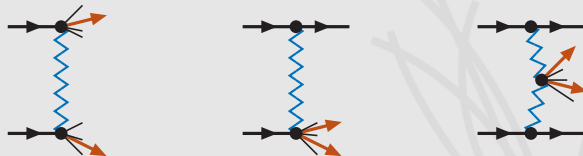
- ▶ As densidades partônicas $f_i(x, Q^2)$ evoluem em termos da **fração de momentum x** .

- ▶ Os processos envolvendo a troca de Pomerons levam a Física difrativa em altas energias.

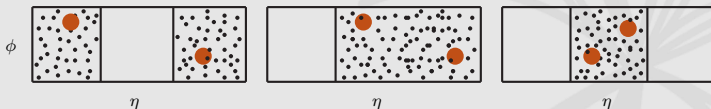


Física Difrativa

- ▶ Os processos difrativos em altas energias são caracterizados por interações pela troca de Pomerons.
 - ▶ Em processos **exclusivos** o estado inicial não se altera com a interação.
- ▶ A **Assinatura experimental** destes processos são as **Lacunas de rapidez**



$$\eta = -\ln \left[\tan \left(\frac{\theta}{2} \right) \right]$$



- ▶ **Objetivo:** Explorar a produção difrativa do bóson de Higgs em processos γp .

Outline

- ▶ Motivação
- ▶ Teoria Eletrofraca
- ▶ Física difrativa
- ▶ **Mecanismo de fotoprodução do bóson de Higgs**
 - ▶ Cálculo analítico da amplitude
 - ▶ Processo γp
 - ▶ Parâmetros fenomenológicos
 - ▶ Taxa de eventos
- ▶ Aplicações a Colisões Periféricas
 - ▶ Resultados em colisões pp
 - ▶ Resultados em colisões pA
- ▶ A probabilidade de sobrevivência
- ▶ Conclusões e perspectivas

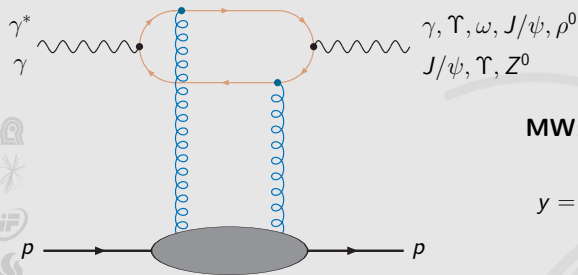


Espalhamento Compton Profundamente Virtual

- ▶ **1997:** Ji PRD **55** (1997) 7114
 - ▶ Processo $\gamma^* p \rightarrow \gamma p$ com troca de **Pomeron** em colisões ep .

- ▶ **2001:** Munier, Staśto e Mueller NPB **603** (2001) 427
 - ▶ Produção de mésons vetoriais $\gamma^* p \rightarrow Vp$ com o **modelo GBW**.

- ▶ **2008:** Motyka e Watt PRD **78** (2008) 014023
 - ▶ Produção de partículas vetoriais $\gamma p \rightarrow Ep$ em **Colisões Periféricas**.

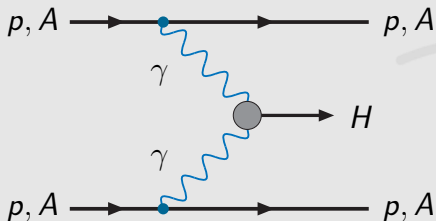


MW: produção do bóson Z^0

$$y = 0 \begin{cases} \sigma_{\gamma p} = \mathbf{4.2 \text{ fb}}, \text{ Tevatron} \\ \sigma_{\gamma p} = \mathbf{37 \text{ fb}}, \text{ LHC} \end{cases}$$

Produção eletromagnética do bóson de Higgs

- ▶ **1990:** Cahn e Jackson PRD 42 (1990) 3690
Müller e Schramm PRD 42 (1990) 3699
 - ▶ Colisões Periféricas de íons pesados \rightarrow aniquilação $\gamma\gamma$
- ▶ **2007:** Miller arXiv:0704.1985[hep-ph]
 - ▶ Contribuições de **laços de bósons eletrofracos** para o processo $\gamma\gamma \rightarrow H$.
- ▶ **2009:** D'Enterria e Lansberg PRD 81 (2010) 014004
 - ▶ Vértice efetivo para a produção do bóson de Higgs em processos $\gamma\gamma$.



$$\begin{array}{l}
 M_H = 150 \text{ GeV} \\
 \sqrt{s} = 3.5 \text{ TeV/A}
 \end{array}
 \left\{
 \begin{array}{l}
 \text{CJ: } \sigma_{\text{pbPb}} = 7.0 \text{ pb} \\
 \text{MS: } \sigma_{\text{AA}} \sim 100 \text{ pb}
 \end{array}
 \right.$$

$$\begin{array}{l}
 M_H = 120 \text{ GeV} \\
 \sqrt{s} = 14 \text{ TeV}
 \end{array}
 \left\{
 \begin{array}{l}
 \text{M: } \sigma_{\text{pp}} = \mathbf{0.12 \text{ fb}} \\
 \text{DL: } \sigma_{\text{pp}} = \mathbf{0.18 \text{ fb}}
 \end{array}
 \right.$$

Produção difrativa do bóson de Higgs

► **1991:** Bialas e Landshoff

PLB **256** (1991) 540

► Trajetórias de Regge para a **interação**.

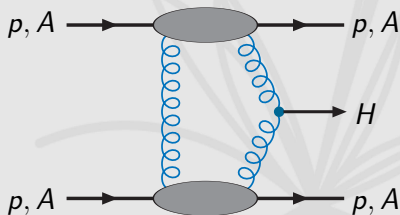
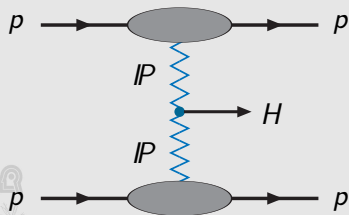
► **1997:** Khoze, Martin e Ryskin

PLB **401** (1997) 330

2007: Levin e Miller

arXiv:0801.3593[hep-ph]

► Pomeron da QCD como troca de **glúons**.



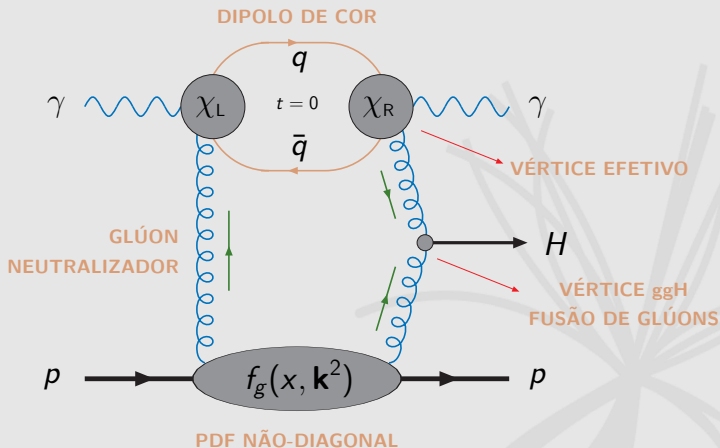
$$M_H = 150 \text{ GeV} \\ \sqrt{s} = 16 \text{ TeV} \quad \left\{ \text{BL} : \sigma_{pp} = 0.1 \text{ pb} \right.$$

$$M_H = 120 \text{ GeV} \\ \sqrt{s} = 14 / 8.8 (5.5) \text{ TeV}/A \quad \left\{ \begin{array}{l} \text{KMR} : \sigma_{pp}^{\text{exc/inc}} \sim 3 \text{ fb}/300 \text{ fb} \\ \text{LM} : \sigma_{pAu(AuAu)} = 0.64 \text{ pb} (3.9 \text{ nb}) \end{array} \right.$$

Mecanismo de fotoprodução

► Proposta:

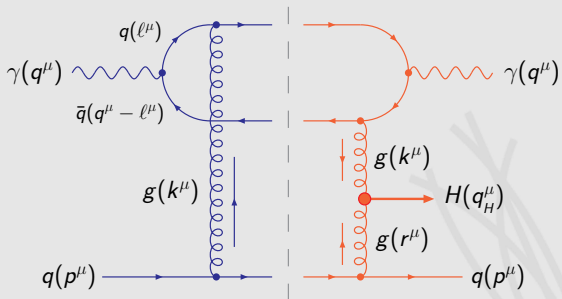
Produção do Higgs em processos γp pela Troca Dupla de Pomerons.



► O dipolo de cor é tratado no **Formalismo de Fator de Impacto** para $t = 0$.

Amplitude de espalhamento

- Processo a nível partônico: $\gamma q \rightarrow \gamma + H + q$



- A amplitude de espalhamento é obtida pelas **Regras de Cutkosky**

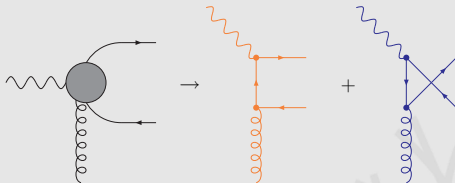
$$\text{Im } \mathcal{A} = \frac{1}{2} \int d(PS)_3 \mathcal{A}_L \mathcal{A}_R$$

com $d(PS)_3$ sendo o elemento diferencial do espaço de fase.

- É necessário avaliar as possibilidades para o diagrama do dipolo de cor.

Vértices efetivos

- Com o corte no diagrama, existem diferentes possibilidades para a sua formação



- Efetua-se o cálculo através das Regras de Feynman para cada acoplamento

$$\chi^{\mu\nu} = ig_s ee_q t^A \left\{ \gamma^\mu \left[\frac{l_1 - \not{q}}{(l_1 - q)^2} \right] \gamma^\nu + \gamma^\nu \left[\frac{l_1 - \not{k}}{(l_1 - k)^2} \right] \gamma^\mu \right\}$$

$$\chi^{\alpha\beta} = ig_s ee_q t^B \left\{ \gamma^\beta \left[\frac{k - l_2}{(k - l_2)^2} \right] \gamma^\alpha + \gamma^\alpha \left[\frac{q - l_2}{(q - l_2)^2} \right] \gamma^\beta \right\}$$

- Para as possíveis polarizações dos fótons, efetua-se a soma para $t = 0$

$$\varepsilon_\mu^L \varepsilon_\nu^{L*} = \frac{4Q^2}{s} \frac{p_\mu p_\nu}{s} \quad \sum \varepsilon_\mu^T \varepsilon_\nu^{T*} = -g_{\mu\nu} + \frac{4Q^2}{s} \frac{p_\mu p_\nu}{s}$$

Aplicando as regras

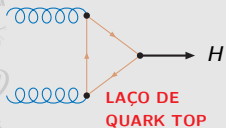
- Efetuando o produto de ambos os lados do corte obtemos

$$\begin{aligned}
 \mathcal{A}_L \mathcal{A}_R &= (4\pi)^3 \alpha_s^2 \alpha \left(\sum_q e_q^2 \right) \left(\frac{\epsilon_{\mu\nu} \epsilon_{\nu}^*}{k^6} \right) \overbrace{\frac{V_{ba}}{N_c}}^{ggH} \left(t^b t^a \right) \overbrace{4p_\lambda p^\sigma}^{\text{eikonal}} \\
 &\times 2 \left\{ \frac{\text{Tr} [(q-l)\gamma^\mu \gamma^\lambda (k+l)\gamma^\nu \gamma^\nu]}{l^4} + \frac{\text{Tr} [(q-l)\gamma^\lambda (k+l-q)\gamma^\mu (k+l)\gamma^\nu \gamma^\nu]}{l^2(k+l+q)^2} \right\}
 \end{aligned}$$

OUTRAS POSSIBILIDADES ← 

- Para a produção de um bóson de Higgs **não tão pesado** ($M_H \lesssim 200 \text{ GeV}$), o vértice ggH é dado por

$$V_{\mu\nu}^{ab} \approx \frac{2}{3} \frac{M_H^2 \alpha_s}{4\pi v} \left(g_{\mu\nu} - \frac{k_{2\mu} k_{1\nu}}{k_1 \cdot k_2} \right) \delta^{ab}$$



Amplitude a nível partônico

- ▶ Torna-se possível efetuar a integração em relação à variável \vec{l} , resultando em

$$(\text{Im } \mathcal{A})_T = \frac{M_H^2 \alpha_s^3 \alpha}{6\pi v} \sum_q e_q^2 \left(\frac{2C_F}{N_c} \right) \int \frac{d\vec{k}^2}{\vec{k}^6} \left[\frac{20s}{3} - 4Q^2 s \int \frac{-1 + 2\alpha_\ell + 4\alpha_\ell^2 - 8\alpha_\ell^3 + 4\alpha_\ell^4}{\vec{k}^2(\tau - \tau^2) + Q^2\alpha_\ell(1 - \alpha_\ell)} d\alpha_\ell d\tau \right]$$

$$(\text{Im } \mathcal{A})_L = -\frac{M_H^2 \alpha_s^3 \alpha}{6\pi v} \sum_q e_q^2 \left(\frac{2C_F}{N_c} \right) \int \frac{d\vec{k}^2}{\vec{k}^6} \left[\frac{8s}{3} - 16Q^2 s \int \frac{\alpha_\ell^2 - 2\alpha_\ell^3 + 4\alpha_\ell^4}{\vec{k}^2(\tau - \tau^2) + Q^2\alpha_\ell(1 - \alpha_\ell)} d\alpha_\ell d\tau \right]$$

- ▶ **Mestrado:** desprezava-se a **virtualidade do fóton** no cálculo.
- ▶ **Doutorado:** Estendemos este cálculo para um fóton com $Q^2 \neq 0$.
- ▶ Considerando a fotoprodução com **fótons reais** ($Q^2 \simeq 0$).
 - ▶ Somente o modo **transverso** de polarização contribui.
- ▶ A amplitude de espalhamento em polarização transversa pode ser reescrita como

$$(\text{Im } \mathcal{A})_T = -\frac{s}{3} \left(\frac{M_H^2}{\pi v} \right) \alpha_s^3 \alpha \sum_q e_q^2 \left(\frac{2C_F}{N_c} \right) \int \frac{d\mathbf{k}^2}{\mathbf{k}^6} \left\{ \int_0^1 \frac{[\tau^2 + (1 - \tau)^2][\alpha_\ell^2 + (1 - \alpha_\ell)^2] \mathbf{k}^2}{\mathbf{k}^2 \tau(1 - \tau) + Q^2 \alpha_\ell(1 - \alpha_\ell)} d\alpha_\ell d\tau \right\}$$

resultado este conhecido do **Formalismo de Fator de Impacto**.

Seção de choque do processo γq

- ▶ A parte imaginária da amplitude tem a forma

$$\frac{\text{Im } \mathcal{A}}{s} = -\frac{1}{9\pi} \frac{M_H^2 \alpha_s}{N_c v} \int \frac{dk^2}{k^6} \left(\frac{\alpha_s C_F}{\pi} \right) \Phi_{\gamma\gamma}(k^2, Q^2)$$

onde $\Phi_{\gamma\gamma}$ é o fator de impacto do dipolo com a troca de dois glúons no canal t .

- ▶ **Primeira evidência**: dependência em k^{-6} devido a presença do dipolo de cor.
- ▶ Com este resultado, é possível obter a taxa de eventos em rapidez central

$$\left. \frac{d\sigma}{dy_H d\mathbf{p}^2 dt} \right|_{y_H, t=0} = \frac{8}{9} \left(\frac{\alpha_s M_H^2}{\pi^3 N_c v} \right)^2 \left[\int \frac{dk^2}{k^6} \Phi_{\gamma\gamma}(k^2, Q^2) \frac{\alpha_s C_F}{\pi} \right]^2.$$

- ▶ Este resultado é obtido a **nível partônico**:

- ▶ É necessário introduzir a contribuição do conteúdo partônico do próton.
- ▶ Substituição da contribuição do **quark** para a contribuição do **próton**:

Fenomenologia: conteúdo partônico do próton



- ▶ O acoplamento ao próton é representado pela **PDF não-diagonal**

$$\frac{\alpha_s C_F}{\pi} \longrightarrow f_g(x, \mathbf{k}^2) = \mathcal{K} \left(\frac{\partial [xg(x, \mathbf{k}^2)]}{\partial \ln \mathbf{k}^2} \right)$$

- ▶ A não-diagonalidade é aproximada por um fator multiplicativo dado por

$$\mathcal{K} \simeq (1.2) \exp(-B\mathbf{p}^2/2)$$

onde $B = 5.5 \text{ GeV}^{-2}$ é o fator de forma do acoplamento IPp .

- ▶ Para introduzir f_g , a fração de momentum do glúon deve ser $x \sim 0.01$.
- ▶ A seção de choque de produção é dada por

$$\frac{d\sigma}{dy_H d\mathbf{p}^2 dt} \Big|_{y_H, t=0} = \frac{8}{9} \left(\frac{\alpha_s M_H^2}{\pi^3 N_c V} \right)^2 \left[\int \frac{d\mathbf{k}^2}{\mathbf{k}^6} \Phi_{\gamma\gamma}(\mathbf{k}^2, Q^2) f_g(x, \mathbf{k}^2) \right]^2.$$

Fenomenologia: Parametrizações

- ▶ As distribuições partônicas são parametrizadas fornecendo funções de distribuição em relação a x e \hat{Q}^2 .
- ▶ Utiliza-se a Equação de Evolução DGLAP para evoluir as distribuições em \hat{Q}^2 .
 - ▶ Cada parametrização possui uma escala inicial de evolução:

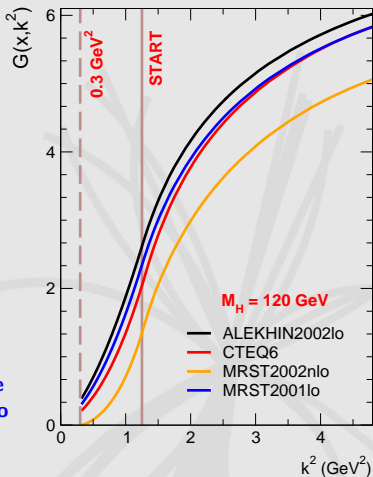
$$\text{MRST} :: \hat{Q}_0^2 = 1.25 \text{ GeV}^2.$$

- ▶ Estendemos a função para regiões de menor \hat{Q}^2 utilizando a parametrização

$$G(x, \hat{Q}^2) \sim \hat{Q}^{4+2(\gamma+2)} \hat{Q}^2$$

- ▶ **Adicionamos as contribuições da região de menor escala à seção de choque de produção**

$$k_0^2 = 0.3 \text{ GeV}^2$$

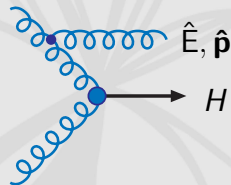


Fenomenologia: Radiação de glúons

- ▶ Glúons reais podem ser emitidos do vértice ggH e devem ser **suprimidas**.
 - ▶ Estes termos irão regular a região do infravermelho, como DGM.
 - ▶ Contabilizar diagramas virtuais que incluem termos do tipo $\ln(M_H^2/k^2)$.
- ▶ A probabilidade de emissão de um glúon é calculado por meio dos **fatores de forma de Sudakov**

$$S_{\text{sud}}(\mathbf{k}^2, M_H^2) = \frac{N_c \alpha_s}{\pi} \int_{k^2}^{M_H^2/4} \frac{d\hat{\mathbf{p}}^2}{\hat{\mathbf{p}}^2} \int_{\hat{\mathbf{p}}}^{M_H/2} \frac{d\hat{\mathbf{E}}}{\hat{\mathbf{E}}} = \frac{3\alpha_s}{4\pi} \ln^2\left(\frac{M_H^2}{4k^2}\right)$$

- ▶ Caso o glúon neutralizador **falhe**, as emissões reais **não são suprimidas**.
- ▶ É necessário suprimir a emissão de **múltiplos** glúons, para o qual a probabilidade de não-emissão exponencia.
 - ▶ Incluímos um fator $e^{-S_{\text{sud}}}$ à seção de choque.
 - ▶ As emissão abaixo de k^2 são **proibidas**.
 - ▶ Se $k^2 \rightarrow 0$ a probabilidade de não-emissão vai **mais rápido** a zero que qualquer potência de k .



Fenomenologia: Lacunas de rapidez

- ▶ As lacunas de rapidez são a principal evidência de processos difrativos em aceleradores.
- ▶ **Problema:** Interações secundárias podem preencher estas lacunas, inviabilizando sua observação.
- ▶ A **Probabilidade de Sobrevivência da Lacuna de Rapidez** contabiliza a porcentagem de eventos onde as lacunas de rapidez ainda poderão ser observadas no estado final.
- ▶ A fração de eventos pode ser calculada como

$$S_{\text{gap}}^2 \equiv \langle |S_{\text{gap}}^2| \rangle = \frac{\int |\mathcal{A}(s, b)|^2 e^{-\Omega(b)} d^2\mathbf{b}}{\int |\mathcal{A}(s, b)|^2 e^{-\Omega_0} d^2\mathbf{b}} = \begin{cases} 5\% & \text{Tevatron} \\ 3\% & \text{LHC} \end{cases}$$

onde Ω_0 é a opacidade relevante para $b = 0$.

- ▶ Esta probabilidade depende especificamente do subprocesso em questão.
- ▶ Existem outros cálculos para esta probabilidade (BH, GLM, DGM, etc.).
 - ▶ Adotamos o modelo KKMR pela similaridade ao subprocesso considerado.

Seção de choque γp

- ▶ A seção de choque é calculada para rapidez central ($y_H = 0$)

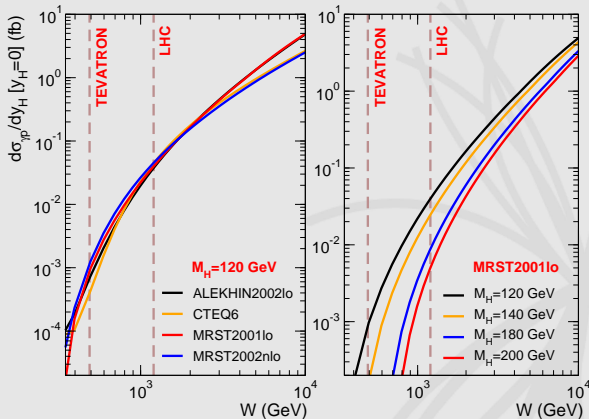
$$\frac{d\sigma}{dy_H dt} \Big|_{y_H, t=0} = \frac{8}{9} \frac{S_{gap}^2}{2\pi B} \left(\frac{\alpha_s M_H^2}{N_c \pi^2 v} \right)^2 \left[\int_{k_0^2}^{\infty} \frac{dk^2}{k^6} e^{-S_{sud}(k^2, M_H^2)} f_g(x, k^2) \Phi_{\gamma\gamma}(k^2, Q^2) \right]^2$$

- ▶ Conteúdo do próton: $\alpha_s C_F / \pi \rightarrow f_g(x, k^2) = \mathcal{K} \partial_{(\ell_n k^2)} xg(x, k^2)$
- ▶ Probabilidade de Sobrevivência: $S_{gap}^2 = \begin{cases} 3\%, & \text{LHC} \\ 5\%, & \text{Tevatron} \end{cases}$
- ▶ Supressão da radiação de glúons: $S_{sud}(k^2, M_H^2) \propto \ln^2(M_H^2/4k^2)$
- ▶ Corte k_0^2 : Regula as **divergências** em infravermelho :: $k_0^2 = 0.3 \text{ GeV}^2$.
- ▶ Valor esperado do vácuo na Teoria Eletrofraca: $v = 246 \text{ GeV}$
- ▶ Fator de forma IPp : $B = 5.5 \text{ GeV}^{-2}$

M. B. Gay Ducati, GGS
Physical Review D **78** (2008) 113005

Resultados: previsões para o processo γp

- ▶ As previsões para diferentes parametrizações possuem comportamentos distintos em cada acelerador.
- ▶ **Tevatron**: restrição para $M_H < 140$ GeV
- ▶ Para este mecanismo, a produção no Tevatron é praticamente inviável.



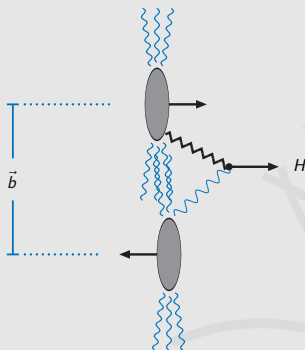
Outline

- ▶ Motivação
- ▶ Teoria Eletrofraca
- ▶ Física difrativa
- ▶ Mecanismo de fotoprodução do bóson de Higgs
 - ▶ Cálculo analítico da amplitude
 - ▶ Processo γp
 - ▶ Parâmetros fenomenológicos
 - ▶ Taxa de eventos
- ▶ **Aplicações a Colisões Periféricas**
 - ▶ Resultados em colisões pp
 - ▶ Resultados em colisões pA
- ▶ A probabilidade de sobrevivência
- ▶ Conclusões e perspectivas



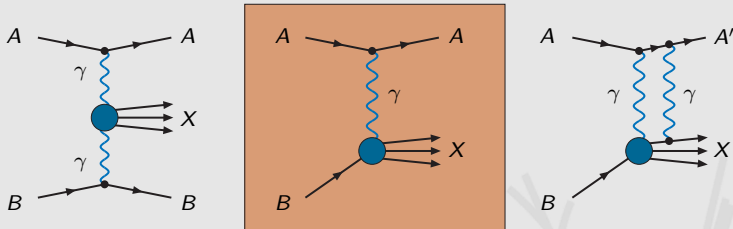
Produção em Colisões Periféricas

- ▶ O processo γp é um subprocesso que ocorre em **Colisões Periféricas**



- ▶ Estas colisões viabilizam interações com parâmetro de impacto $b \geq 2R$.
 - ▶ Neste caso as interações são puramente eletromagnéticas.
- ▶ Os fótons emitidos pelos campos EM dos hádrons são fótons **reais**.

Fótons periféricos



- ▶ A **virtualidade** do fóton é relacionada com o raio nuclear: ação coerente das partículas carregadas

$$Q^2 \lesssim 1/R^2$$

CONDIÇÃO DE COERÊNCIA

- ▶ Para o **próton**: $Q^2 \leq 0.04 \text{ GeV}^2$.
- ▶ O **Princípio de incerteza** determina um limite superior para o momentum transverso dos fótons

$$q_{\perp} \lesssim \frac{1}{R}$$

Seção de choque hadrônica

- ▶ Para colisões pp , $\sigma_{\gamma p}$ é convoluída com o **fluxo de fótons**

$$\sigma(pp(A) \rightarrow p + H + p(A)) = 2 \int_{\omega_0}^{\sqrt{s}/2} d\omega \frac{dn_i}{d\omega} \sigma_{\gamma p}(\omega, M_H),$$

onde este fluxo é dado por

$$\frac{dn_p}{d\omega} = \frac{\alpha_{em}}{2\pi\omega} \left[1 + \left(1 - \frac{2\omega}{\sqrt{s}} \right)^2 \right] \left(\ell n A - \frac{11}{6} + \frac{3}{A} - \frac{3}{2A^2} + \frac{1}{3A^2} \right).$$

para o caso de **prótons**, com $A \simeq 1 + (0.71 \text{ GeV}^{-2})\sqrt{s}/2\omega^2$, e

$$\frac{dn_A}{d\omega} = \frac{2Z^2 \alpha_{em}}{\pi\omega} \left[\mu K_0(\mu) K_1(\mu) - \frac{\mu^2}{2} [K_1^2(\mu) - K_0^2(\mu)] \right].$$

para **núcleos**, com $\mu = b_{min}\omega/\gamma_L$, onde $b_{min} = R_p + R_A$.

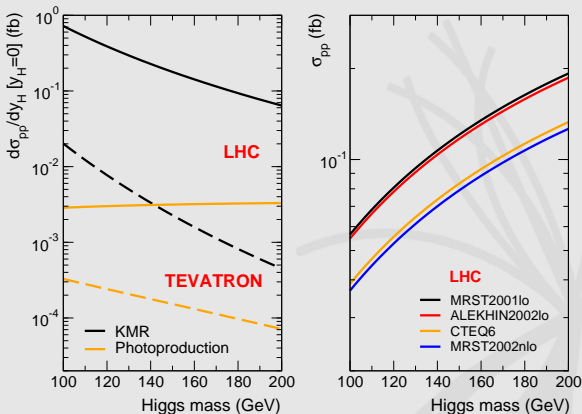
- ▶ A virtualidade do fóton deve ser decomposta na forma

$$Q^2 = -\omega^2/(\gamma_L^2 \beta_L^2) - q_\perp^2$$

com $\gamma_L = (1 - \beta_L^2)^{-1/2} = \sqrt{s}/2m_i$ sendo o fator de Lorentz do feixe.

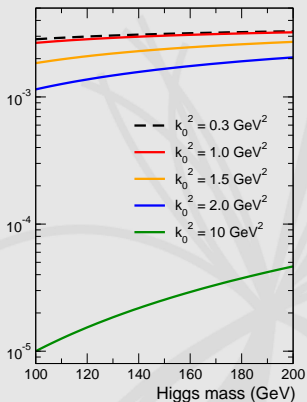
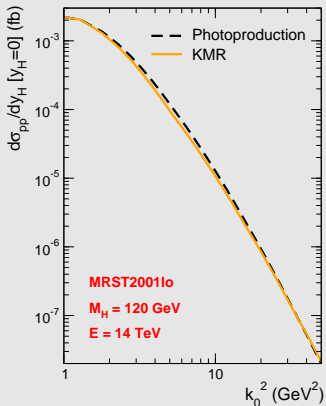
Resultados: produção em colisões pp

- ▶ A seção de choque para $M_H = 120$ GeV é similar àquela obtida para a produção eletromagnética (**0.1 fb**).
- ▶ Existe uma lacuna entre as previsões feitas para diferentes parametrizações.



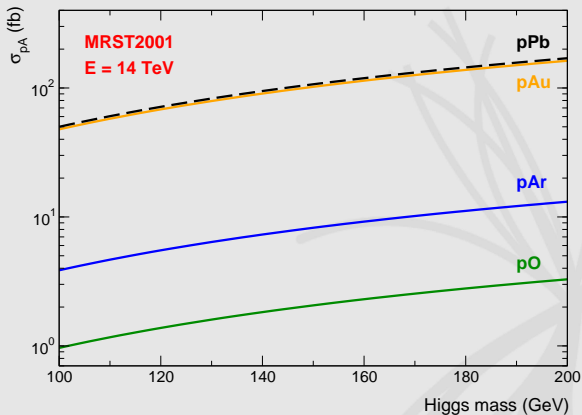
Resultados: sensibilidade

- ▶ Praticamente o mesmo comportamento que os resultados do grupo de Durham.
- ▶ A principal contribuição advém do intervalo $k_0^2 < 30 \text{ GeV}^2$.



Resultados: produção em colisões pA

- ▶ $\sigma_{pAu} \sim 100$ fb: resultado competitivo com o do grupo de Durham.
- ▶ σ_{pAu} : **8x** menor que em produção EM com **laços bosônicos**.
- ▶ σ_{pPb} : **50%** menor que em produção EM com **Teoria efetiva** para ggH .



Probabilidade de sobrevivência

- ▶ A seção de choque prevista é menor que aquela obtida pelo grupo de Durham.
- ▶ A probabilidade de sobrevivência utilizada não é apropriada para o processo γp (3% ou 5%).

Subprocesso	GSP (%)	σ_{pp} (fb)
<i>IPIP</i>	3.0	2.70
<i>IPIP</i>	0.4	0.47
$\gamma\gamma$	100	0.10
γp	3.0	0.08

- ▶ Esperamos que a probabilidade seja **maior** que 3% para o processo γp .
 - ▶ Devido às interações com grande parâmetro de impacto, elimina-se interações fortes.
 - ▶ Os dados de HERA revelam uma grande probabilidade para a produção central de jatos.
- ▶ É necessário estimar esta probabilidade para o mecanismo de fotoprodução.

Conclusões

- ▶ Até o presente momento, calculamos a seção de choque de produção e a taxa de eventos para o bóson de Higgs.
- ▶ Sucesso em calcular a extensão a partir do resultado anterior.
- ▶ As previsões para o LHC são animadoras:

$$\sigma_{pp} \sim 0.1 \text{ fb} \quad \sigma_{pA} \sim 100 \text{ fb}$$

- ▶ Esta abordagem permite a análise da produção do bóson de Higgs em Colisões Periféricas.
- ▶ Os resultados apresentaram pequena sensibilidade ao corte: região infravermelha regulada.
- ▶ Obtendo-se uma estimativa mais confiável para a probabilidade de sobrevivência, as previsões poderão ser avaliadas no mesmo cenário com outras propostas.
- ▶ Os resultados para a fotoprodução poderão ser explorados em conjuntos de dados para colisões não-centrais.



Perspectivas

- ▶ Estudar a produção do bóson de Higgs em Colisões Periféricas entre núcleos.
 - ▶ Torna-se necessário contabilizar as PDF nucleares (EPS, nDS).
- ▶ Calcular uma estimativa para a probabilidade de sobrevivência.
 - ▶ Existem dados de HERA para avaliar este valor.
- ▶ Estender esta abordagem para a produção do bóson vetorial Z^0 .
- ▶ Explorar a produção associada do bóson de Higgs com os bósons vetoriais Z e W .
 - ▶ Para este último será necessário levar em conta processos eletrofracos de Corrente Carregada.



Cromodinâmica Quântica

- ▶ Teoria de gauge não-Abeliana que descreve a interação entre **quarks** e **glúons**;
- ▶ Construída pelo Grupo de simetria SU(3) tendo **cor** como número quântico

$$\text{álgebra de Lie: } [T^a, T^b] = if^{abc} T^c$$

- ▶ Nesta teoria as transformações de gauge são consideradas locais;
- ▶ O Lagrangiano que descreve estas interações é expresso como

$$\mathcal{L}_{QCD} = -\frac{1}{4} G_{\mu\nu}^a G_a^{\mu\nu} - \bar{\psi} (i\gamma^\mu D_\mu - m) \psi + \mathcal{L}_{FG} + \mathcal{L}_f$$

sendo $G_{\mu\nu}^a = \partial_\mu G_\nu^a - \partial_\nu G_\mu^a - g f_{abc} G_\mu^b G_\nu^c$ e $D_\mu = \partial_\mu - igT_a G_\mu^a$.

- ▶ Certos aspectos físicos particulares são previstos por esta teoria:
 - ▶ **Confinamento**: quarks e glúons estão confinados no interior dos hádrons;
 - ▶ **Liberdade Assintótica**: em $s \rightarrow \infty$, quarks e glúons interagem fracamente.



Variáveis cinemáticas

- ▶ Um ponto importante é definir as variáveis cinemáticas utilizadas:

- ▶ Variáveis de Mandelstam:

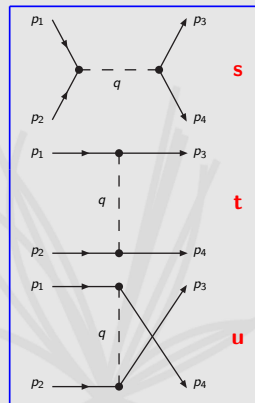
$$s = (p_1 + p_2)^2 \equiv E^2$$

$$t = (p_1 - p_3)^2 \equiv q^2$$

$$u = (p_1 - p_4)^2$$

$$s + t + u = m_1^2 + m_2^2 + m_3^2 + m_4^2$$

- ▶ Fóton virtual: **virtualidade** $Q^2 = -q^2$;
- ▶ Variável de Bjorken: $x_{Bj} \equiv x = Q^2/2p^\mu q_\mu$;
- ▶ Rapidez: $y = \ell n \left(\frac{E+p_z}{E-p_z} \right)$



Decomposição de Sudakov

- ▶ O tratamento dos quadrimomenta é efetuado pela decomposição de Sudakov

$$\begin{aligned}l^\mu &= \alpha_\ell q'^\mu + \beta_\ell p^\mu + l_\perp^\mu \\k^\mu &= \alpha_k q'^\mu + \beta_k p^\mu + k_\perp^\mu \\r^\mu &= \alpha_r q'^\mu + \beta_r p^\mu + r_\perp^\mu\end{aligned}$$

onde os momenta obedecem

$$q'^\mu = q^\mu + xp^\mu \quad q'^2, p^2 = 0$$

- ▶ Considerando o espaço de fase de três corpos

$$\int d(PS)_3 = \frac{1}{(2\pi)^5} \int d^4l d^4k \delta([q - l]^2) \delta([l + k]^2) \delta([p - k]^2)$$

e decomposta é reescrita por

$$\begin{aligned}\int d(PS)_3 &= \int d\alpha_\ell d\alpha_k d\beta_\ell d\beta_k d^2\vec{l} d^2\vec{k} \\&\times \delta\left(\beta_\ell + \frac{Q^2}{s} + \frac{\vec{l}^2}{s(1 - \alpha_\ell)}\right) \delta\left(\beta_k + \frac{(\vec{l} + \vec{k})^2}{\alpha_\ell s} + \beta_\ell\right) \delta(\alpha_k s + \vec{k}^2).\end{aligned}$$

Parte Imaginária

- ▶ Calculando a parte imaginária da amplitude pelas Regras de Cutkosky obtemos

$$\begin{aligned} \text{Im } \mathcal{A} &= \frac{1}{s} \left(\frac{2}{\pi^2} \right) \alpha_s^2 \alpha \sum_q e_q^2 \left(\frac{\varepsilon_{\mu} \varepsilon_{\nu}^*}{N_c} \right) (t^A t^A) V \left[p_{\lambda} p_{\eta} - \frac{(k \cdot p)}{\vec{k}^2} p_{\lambda} r_{\eta} \right] \\ &\times \int d\alpha_{\ell} \frac{d^2 \vec{k}}{\vec{k}^6} d^2 \vec{l} \left\{ \frac{(1 - \alpha_{\ell})}{\alpha_{\ell}} \frac{T^{\mu\lambda\eta\nu}}{(D_1)^2} + \frac{T^{\lambda\mu\eta\nu}}{D_1 D_2} \right\} \end{aligned}$$

onde $D_1 = \alpha_{\ell}(1 - \alpha_{\ell})Q^2 + \vec{l}^2$ e $D_2 = \alpha_{\ell}(1 - \alpha_{\ell})Q^2 + (\vec{l} + \vec{k})^2$;

- ▶ A integração das deltas de Dirac levam a novos coeficientes para os momenta

$$\begin{aligned} l^{\mu} &= \alpha_{\ell} q'^{\mu} - \left(Q^2 + \frac{\vec{l}^2}{1 - \alpha_{\ell}} \right) \frac{p^{\mu}}{s} + l_{\perp}^{\mu} \\ k^{\mu} &= -\frac{\vec{k}^2}{s} q'^{\mu} + \left(Q^2 + \frac{\vec{l}^2}{1 - \alpha_{\ell}} + \frac{(\vec{l} + \vec{k})^2}{\alpha_{\ell}} \right) \frac{p^{\mu}}{s} + k_{\perp}^{\mu} \end{aligned}$$

- ▶ Parametrização de Sudakov: $\alpha_{\ell} \approx 1$ o que permite desprezar α_k .